

蛇行流と河道形状に関する研究(2)

北海道開発局 正員 山口 甲
同 上 西村 豊

1. まえがき

自然河川における蛇行流および砂洲の消長は、河岸欠陥、蛇行の助長をもち、河道計画に多くの問題を提起している。本文は前報¹⁾に引続き、蛇行長 L についての補足を加えるとともに、弯曲部における流れと水路の弯曲形状の関係 L について述べるものである。

2. 蛇行長

河床砂礫の流路の蛇行性 L による効果 L については、これまでに多くの研究がある。Achers²⁾ は平均粒径 d_m が蛇行長 L と関係するとして、 L は $d_m^{-0.3}$ に比例するとしている。また Schumm³⁾ は砂礫中のシルト (0.074 mm 以下) の含有比率 (パーセント) を M とするとき、 L は $M^{-0.74}$ に比例することを指摘した。筆者も先き¹⁾ d_m がよって河床砂礫の効果と表わしたが、比重が異なる場合はさらに L が違つた値をとることが明らかになった。これまでに検討してきた河川の砂礫比重は、いずれも $\rho = 2.65$ であったが、和天別川の砂礫は頁岩、火山灰粒が混入した礫であるため、 $\rho = 2.20$ と小さく、蛇行長も小さい。比重の効果と考慮して次式のような関係を求めた。

$$\frac{L}{d_m} = 38 \left(\frac{I}{S} \right)^{1/3} \quad (1)$$

L : 蛇行長 (m) d_m : 平均粒径 (mm)
 I : 水面勾配 S : $(\frac{v}{v_c} - 1)$ 砂礫の水中比重

和天別にあっては従来から洪水時の河岸欠陥が大きく、河道災害が多い河川として注目され、河道改修計画と問題視されてきた。この比重が小さいことによる指摘される。なお、蛇行長が短いので、一定の河道区間延長において水衝部が他の三河川に比べて40%も多いことである。このことが河道災害箇所が多い、欠陥の規模を大きくしているものと思われる。

蛇行流の大きさは、流量規模によつて変化することはいく観察されることである。石狩川では洪水時 (昭和41年4月28日)

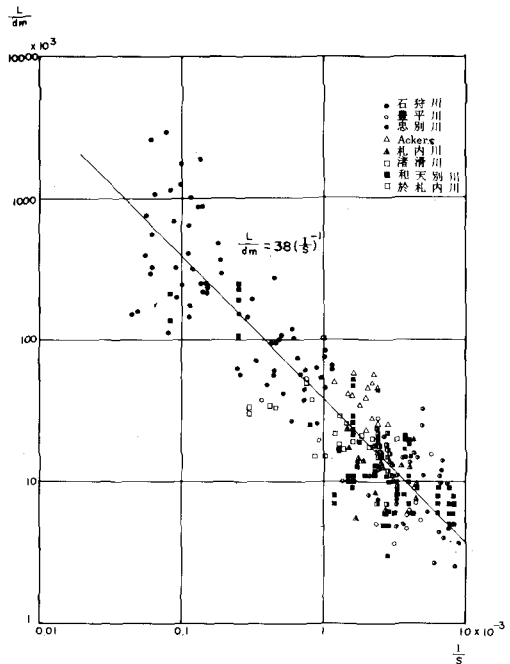


図-1 $\frac{L}{d_m} \sim \frac{I}{S}$

に航空写真で洪水流と横断を、表面流速を同化した。また昭和41年の平水時の航空写真があるから、それと比較することによってその差異と読み取りに与えられるこの川の河床の物理学的変化に伴う蛇行流の変化は、式(1)では充分である。この川の河床に於いて蛇行流は平均流速 Q のあるある条件に比例するとして、蛇行流の性質をより視る場合には、式(2)は注目すべき結果がある。特定の河段区間において水防路の遷移を考慮するには充分である。石狩川の 0 ~ 90KM 区間の洪水平水時の航空写真に基づいて検討した結果、水深 h_w 、水路幅 B 、と L には次のように表わすことができる。式(1)を改定した。

$$\frac{L}{d_m} = 2.5 \times 10^3 \left(\frac{B}{h_w}\right)^{-1} \left(\frac{I}{S}\right)^{-1} \quad (2)$$

式(2)は更に次のように整理できる。

$$\frac{L}{d_m} = 2.5 \times 10^3 \left(\frac{h_m}{d_m}\right) \left(\frac{B}{h_w}\right)^{-1} z_*^{-1} \quad (3)$$

$$\frac{L}{h_w} = 2.5 \times 10^3 \left(\frac{B}{h_w}\right)^{-1} z_*^{-1} \quad (4)$$

$$\Rightarrow z_* = \frac{u_*^2}{g \left(\frac{\rho}{\sigma} - 1\right) d_m}$$

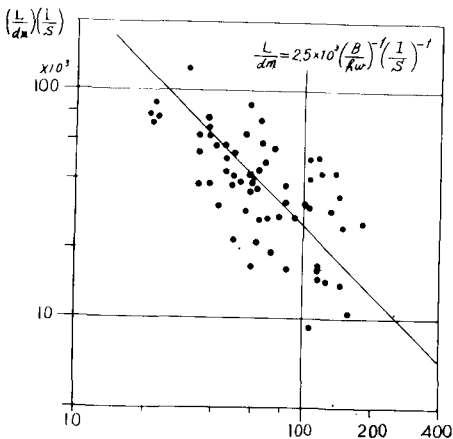


図-2 $\left(\frac{L}{d_m}\right)\left(\frac{I}{S}\right) \sim \frac{B}{h_w}$ (石狩川)

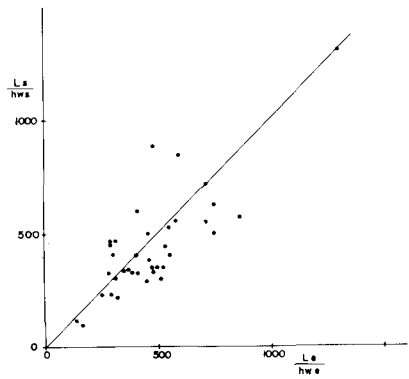


図-3 $\frac{L_s}{h_{ws}} \sim \frac{L_e}{h_{we}}$

式(2)より石狩川の例を(2)-2示す。式(1)より精度よく表わすことができる。

また、昭和41年4月28日の洪水時、および昭和41年4月の平水時の同一蛇行流に於いてその長さとしてそれぞれ L_e 、 L_s 、水深を h_{we} 、 h_{ws} とし、(2)-3 に示してある。 L/h_w は同一地点で常に一定値のようである。この河道改修計画では、河床の掘削、スコップカットによる水面勾配 I の変化による人工的の要因が大きい。その変化は L の変化をもたらし、蛇行流の位置が変化する。治水設計上留意すべき点である。

蛇行河川に於ける弯曲部ではラセル流が発生して複雑な流れを示しているから、これは表面流速の分布を以てベクトル図から分析する。蛇行河道の形状を最深線(Thalweg)とす。河道延長200Mの偏角を θ とし、其速度ベクトルの偏流角を θ' とすると、 $\theta \sim \theta'$ の間、一定の関係があることがわかった。

(1) 洪水時に於て直線状河道ではThalweg上の流れは $\theta = \theta'$ とすることが出来る。

(2) θ が大きくなり河道が弯曲する場合 θ' は大きくなるが、今回の $V = 1.5 \text{ m/s}$ の場合 $\theta = 20$ 度で偏流角 θ' は13度となり極値をとる。

(3) $\theta > 20$ 度では順次減少し、強制流となりThalwegの方向に沿った流れに近くなる。

これらのことは、弯曲流の度合と河道形に位相差があることを示している。弯曲率に於て河岸侵食が起り易い河道とそうでない河道が生ずることと示しており、河岸侵食防止対策上注目すべきことである。其河道中Bに於けるThalwegの凸岸からの距離を b とすると、 b/B は図-5に示すように速度 V に於て表わすことができる。

(1) 曲率半径 R が大きい直線状河道では b/B は小さく、 R が小さくなるにつれてThalwegは凹部に寄り、 $V = 0.006 \sim 0.008$ 附近で、 b/B は最大0.95程度になる。

(2) $V/R < 0.005$ ならばThalwegは河心に近い位置になる。

(3) $V = 1.5 \text{ m/s}$ の場合を以て、図-4にplotすると、 $\theta \sim \theta'$ の関係図と同じように、 $\theta = 20$ 度附近で極値を示す。

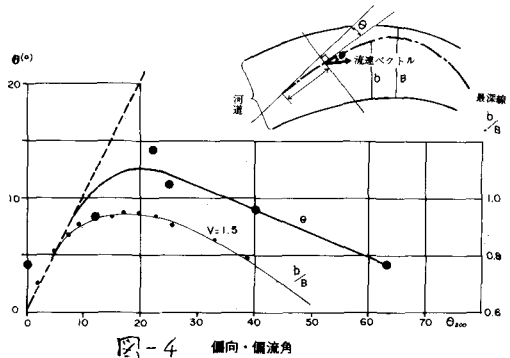


図-4 偏向・偏流角

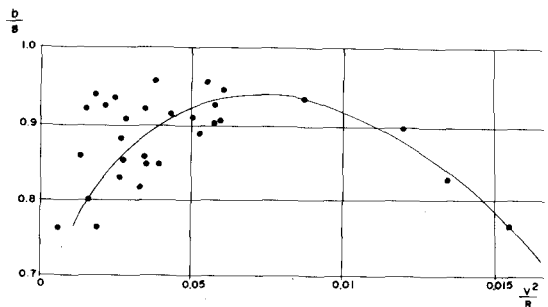


図-5 $\frac{b}{B} \sim \frac{V}{R}$

4. 考察

以上をまとめると、次のようである。

- (1) 弯曲部と Thalweg は沿って蛇行距離と蛇行長といた場合、 L は河床の平均値を d_m 、平均水深 h_w 、水面巾 B 、水面勾配 I 、砂礫の水中比重 γ を表わすことができる。

$$\frac{L}{d_m} = 38 \left(\frac{I}{\gamma} \right)^{-1}$$

又は石狩川に於ては更に次のように表わされる

$$\frac{L}{h_w} = 2.5 \times 10^3 \left(\frac{B}{h_w} \right)^{-1} \cdot I_*^{-1}$$

- (2) 弯曲部の Thalweg の偏向角 θ と Thalweg 線上の偏流角 ϕ に一定の関係があり、 $V = 1.5 \text{ m/s}$ の場合 θ は $\phi = 20$ 度で極値の 15 度となる。

- (3) Thalweg の横断方向の位置は流速の速心力 $\frac{V^2}{R}$ と関係がある。

蛇行河道に於ける蛇行長、弯曲部の水理現象については種々な問題であるが、石狩川と申へに 2.3 の分析を行なったが、今後とて更に検討を行ない、他水路の維持、治水の疎通化に努める必要がある。

参考文献

- 1) 山口甲 西村豊 蛇行流と河道形状に関する研究 土木学会北海道支部研究発表会論文集 第29号 昭和48年2月
- 2) P. Achters, F.G. Charlton The Geometry of small meandering streams. 1970 supplement (XII) 7328S The Institution of Civil Engineers Proceeding, London
P. Achters, F.G. Charlton The slope and resistance of small meandering channels 1970 Supplement (XV) 7362S. The Institution of Civil Engineers Proceeding, London.
- 3) Schumm Meander wave length of Alluvial Rivers, Science N. Y., 1967 Vol. 157. No. 3796